

1/23

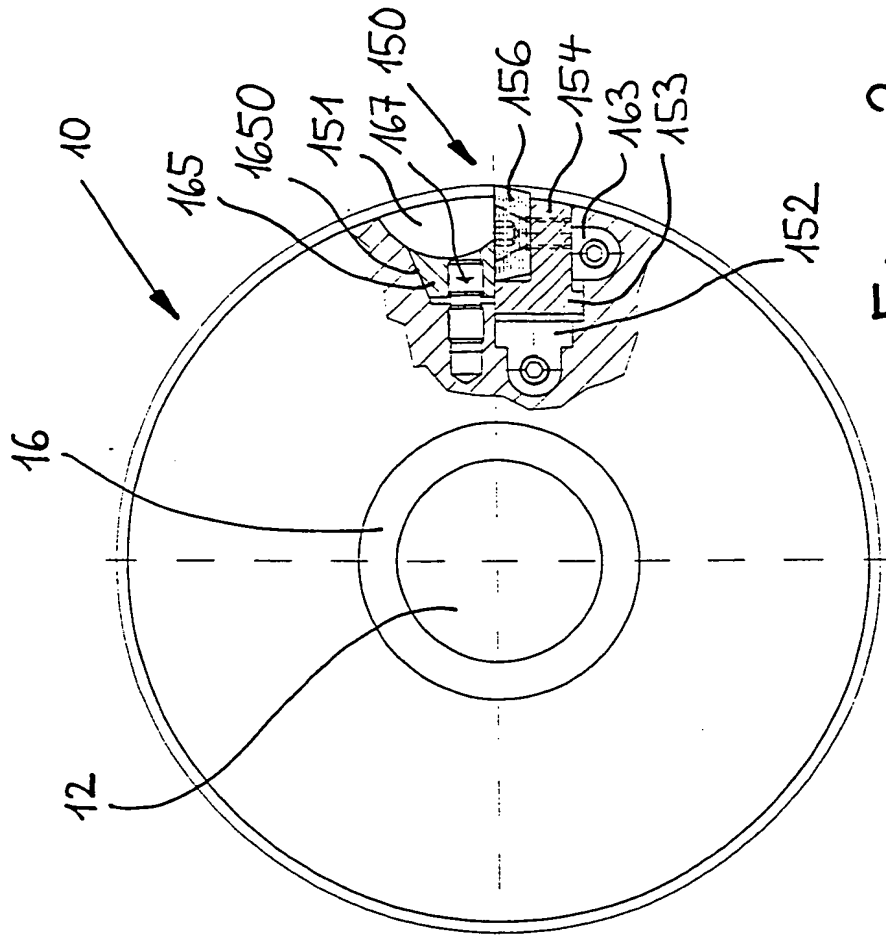


Fig. 2

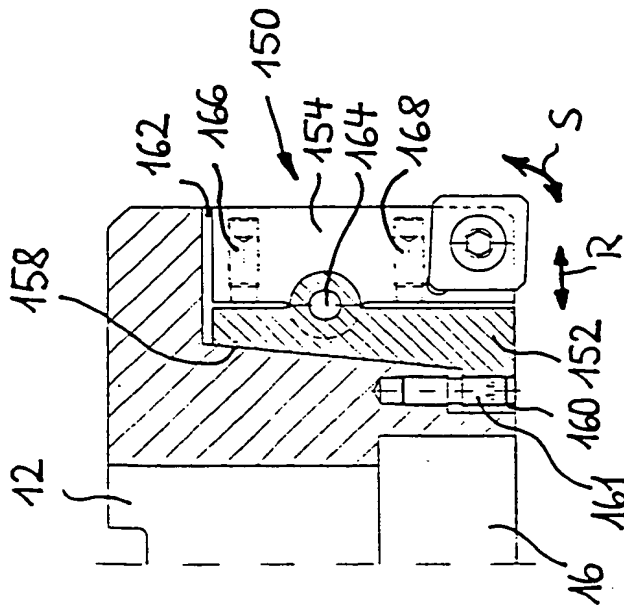


Fig. 1

2 / 23

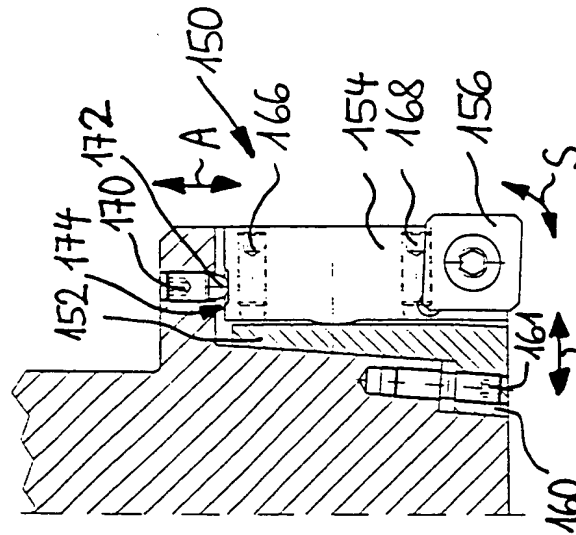


Fig. 3a

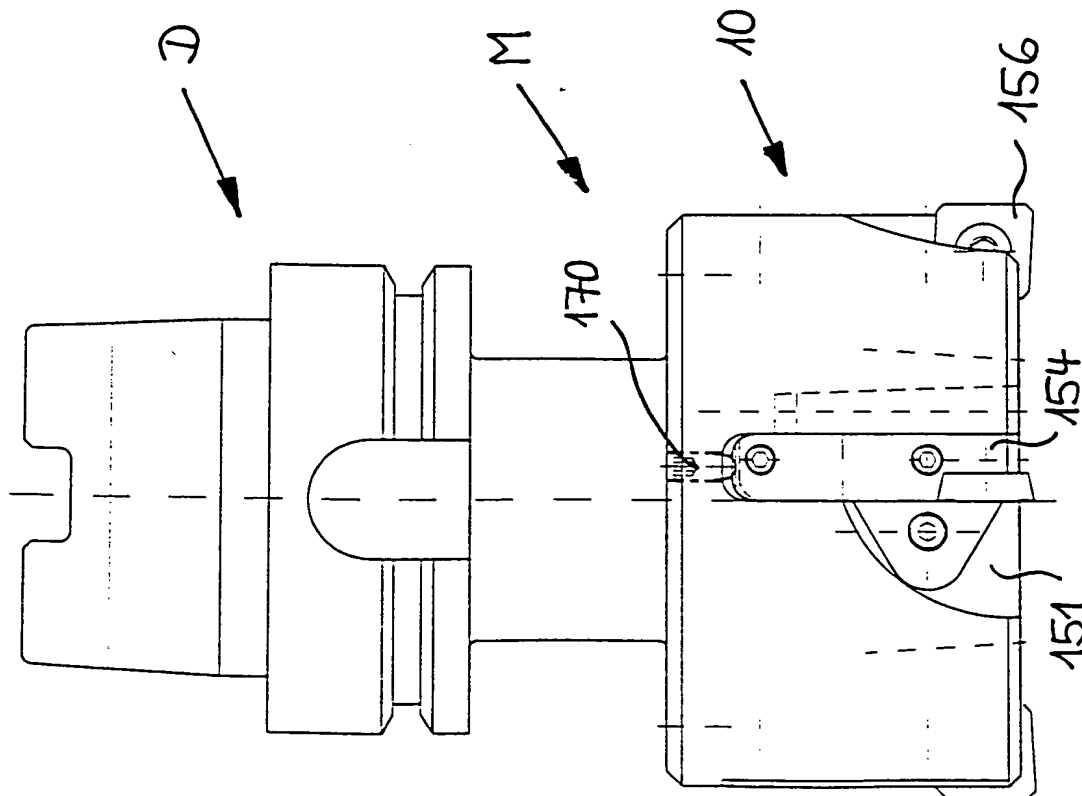


Fig. 5

3 / 23

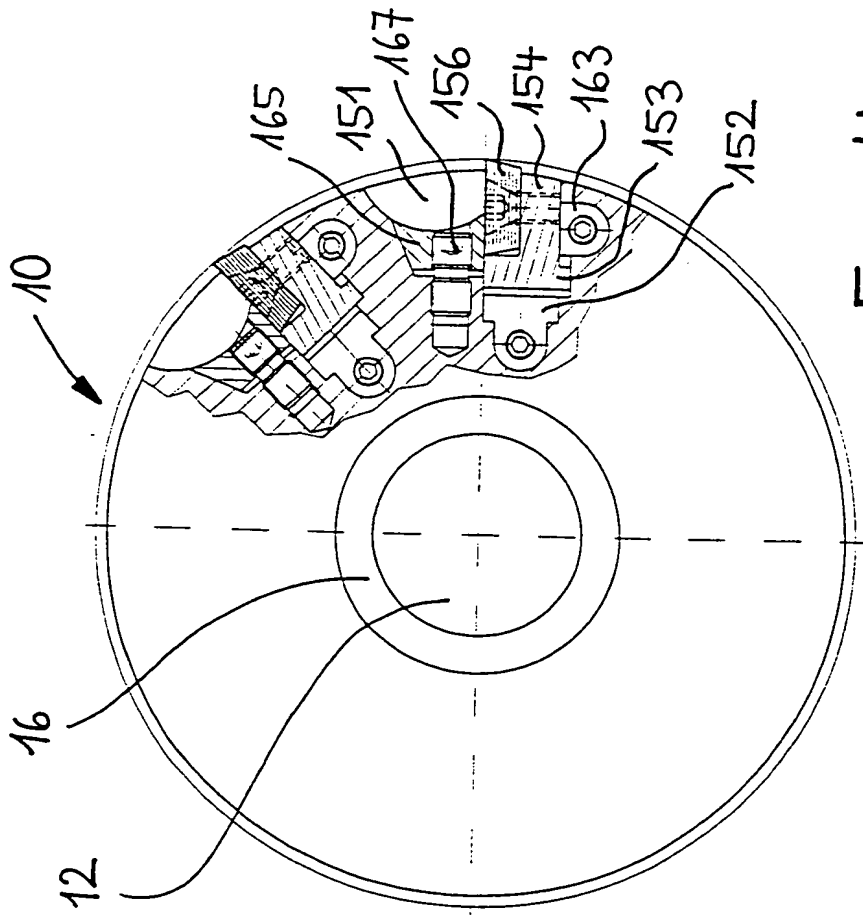


Fig. 4

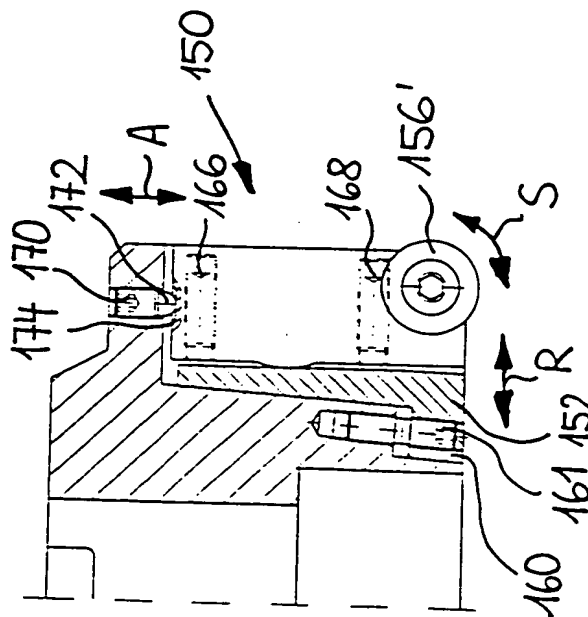


Fig. 3b

4/23

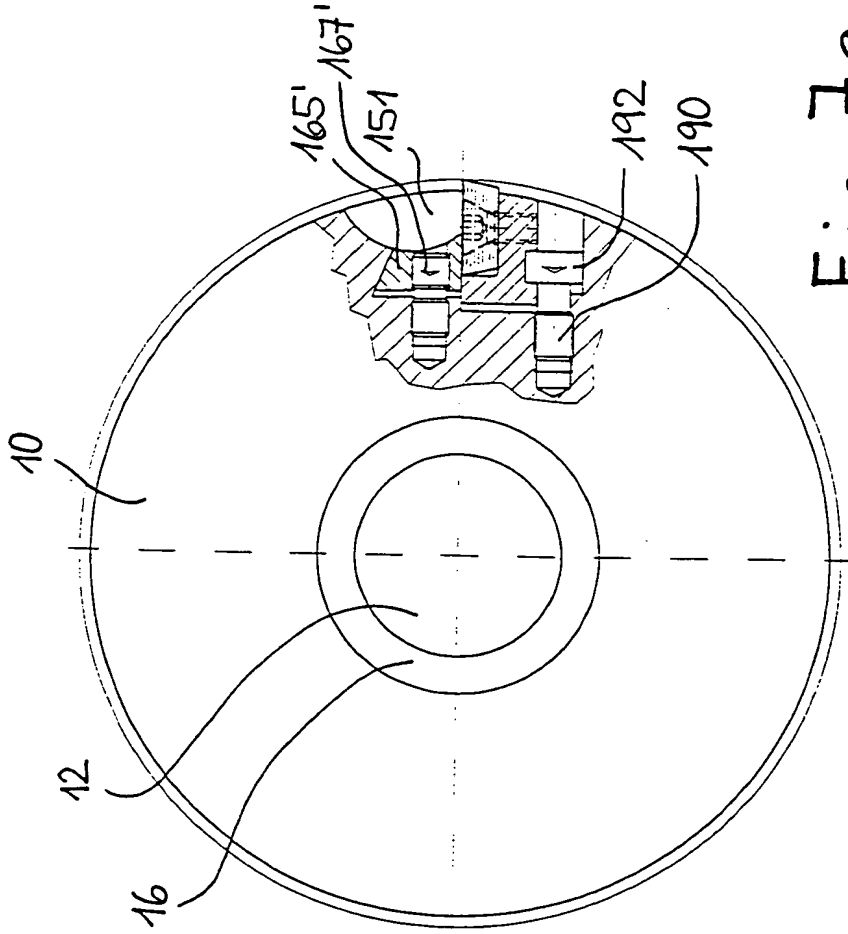


Fig. 7a

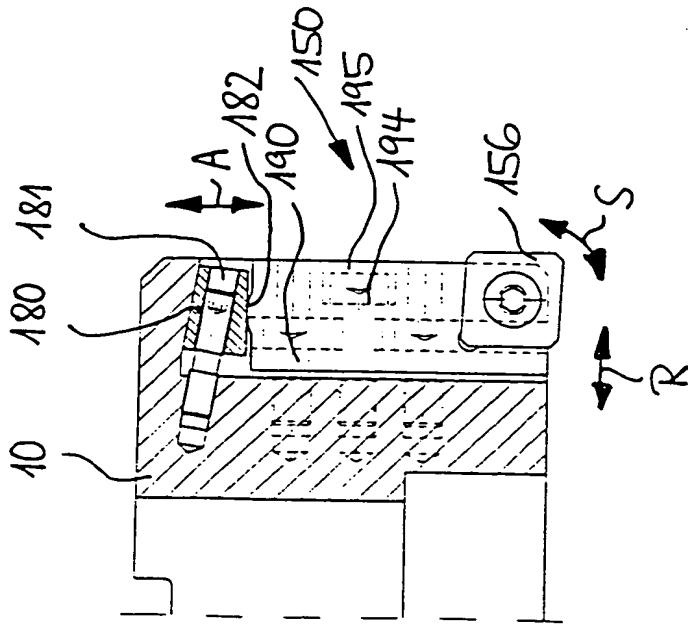


Fig. 6a

Fig. 7b

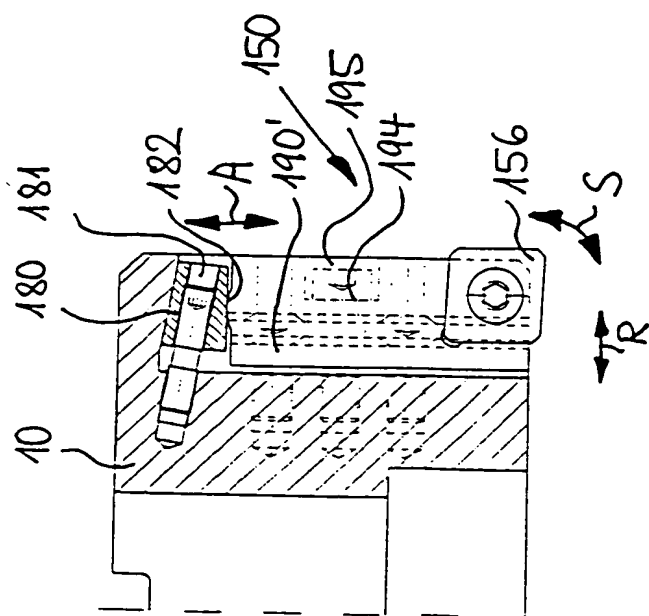
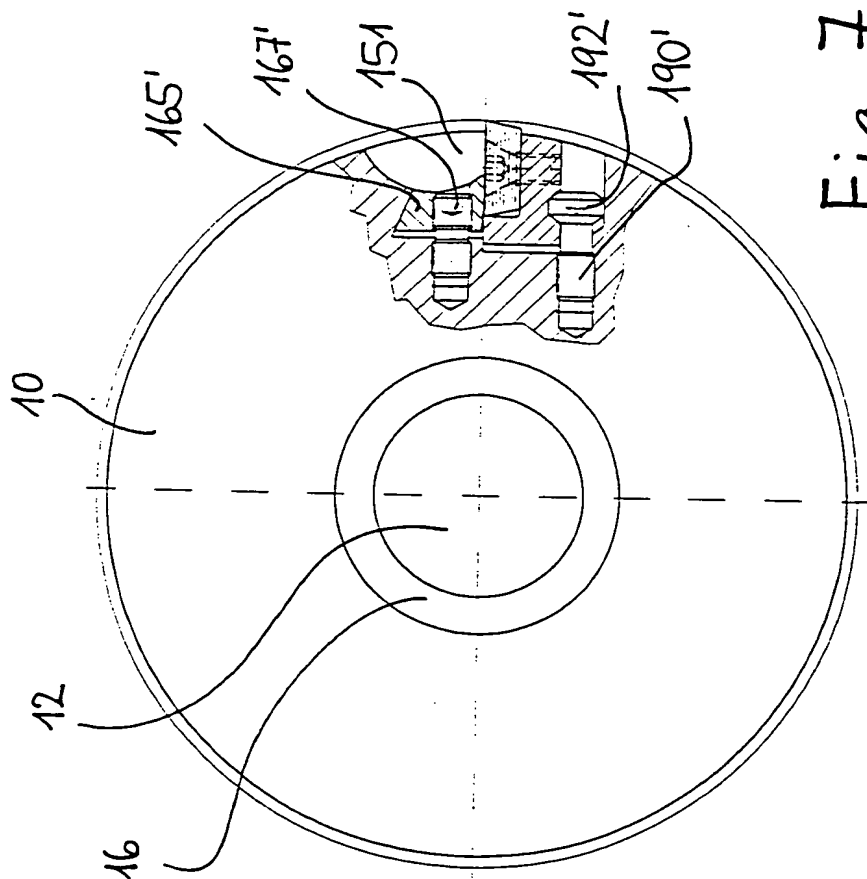


Fig. 6b

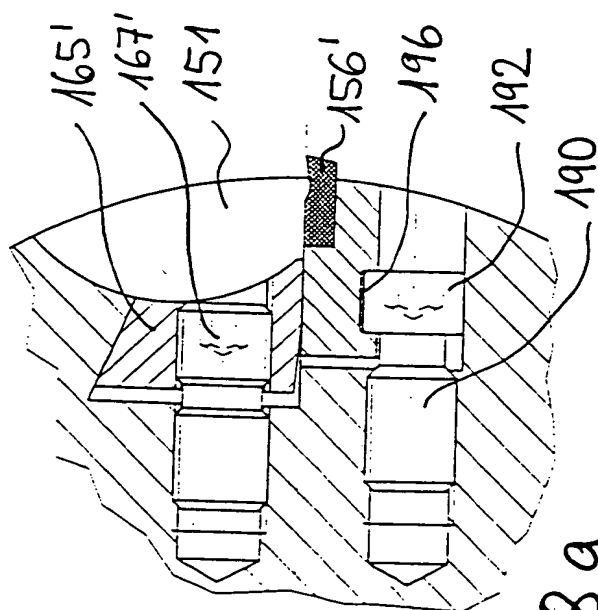


Fig. 8a

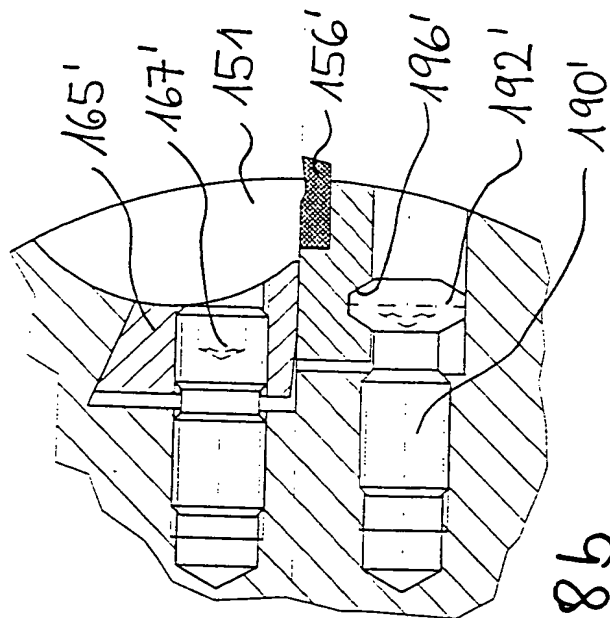


Fig. 86

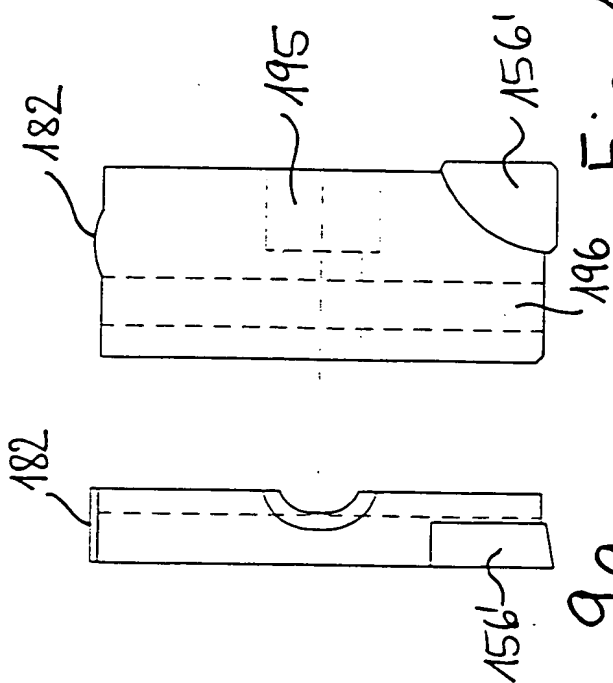


Fig. 9a

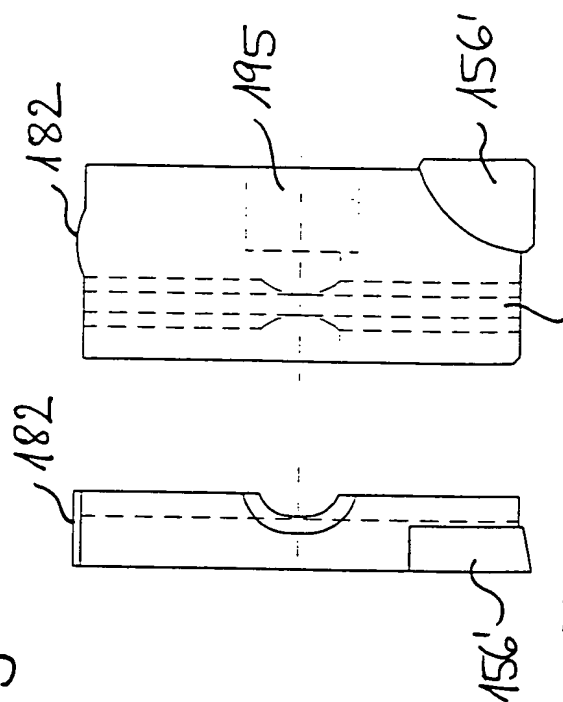


Fig. 96

Fig. 10b

7/23

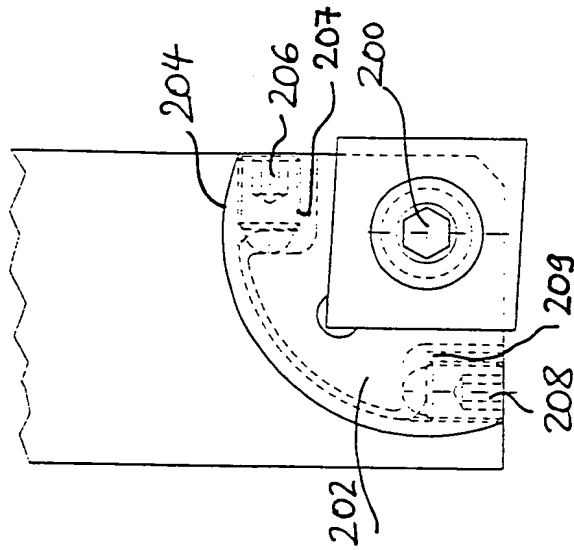


Fig. 13

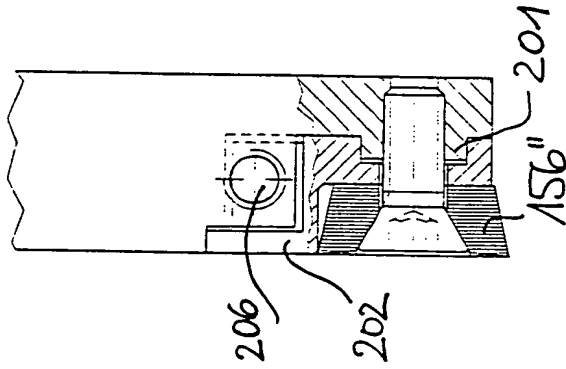


Fig. 12

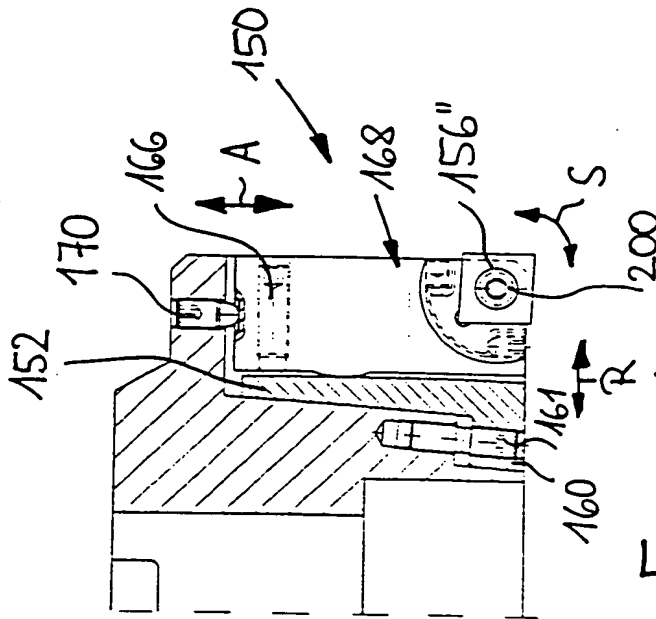


Fig. 11

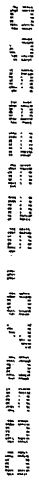


Fig. 14



9/23

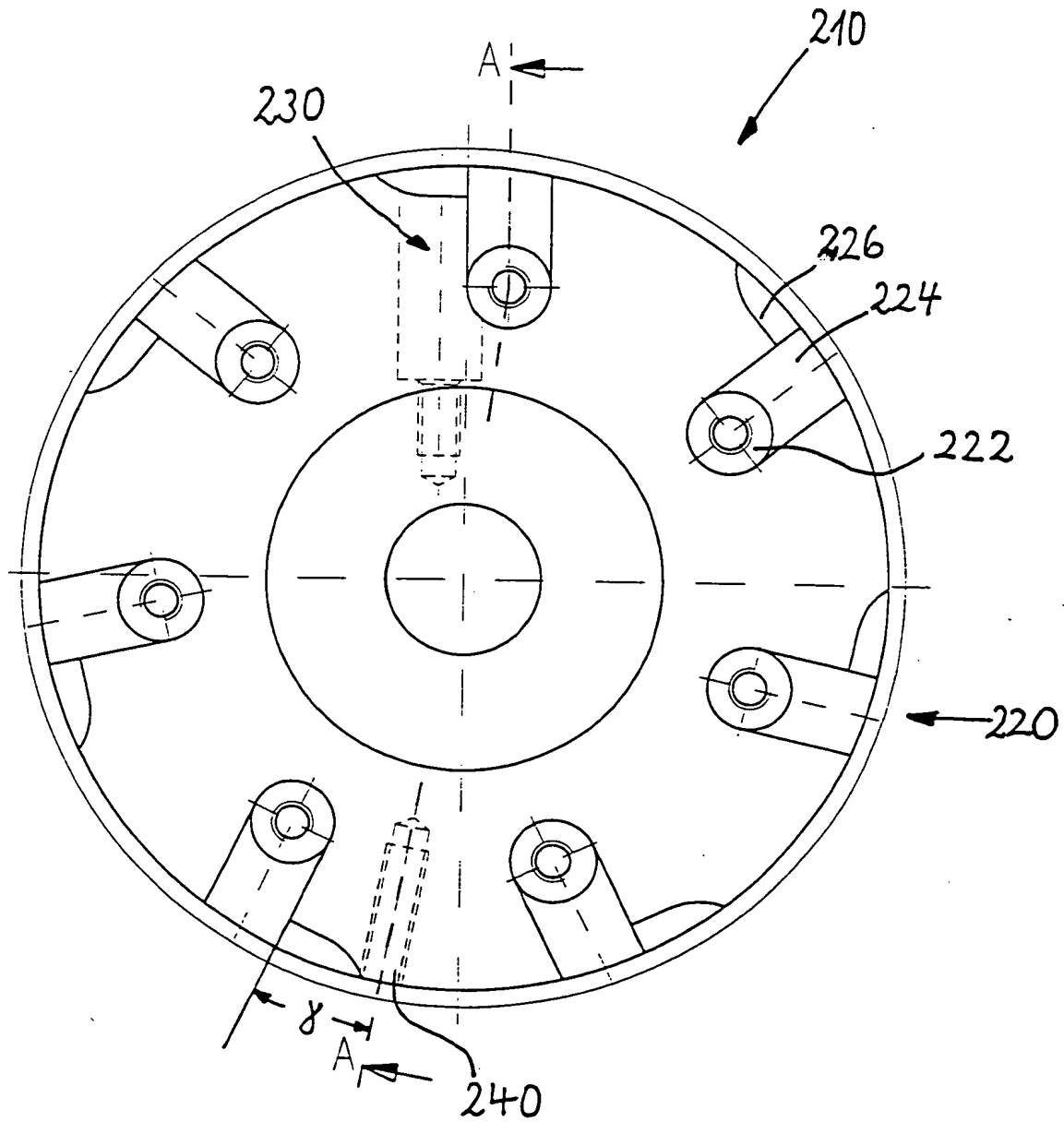


Fig. 15

10/23

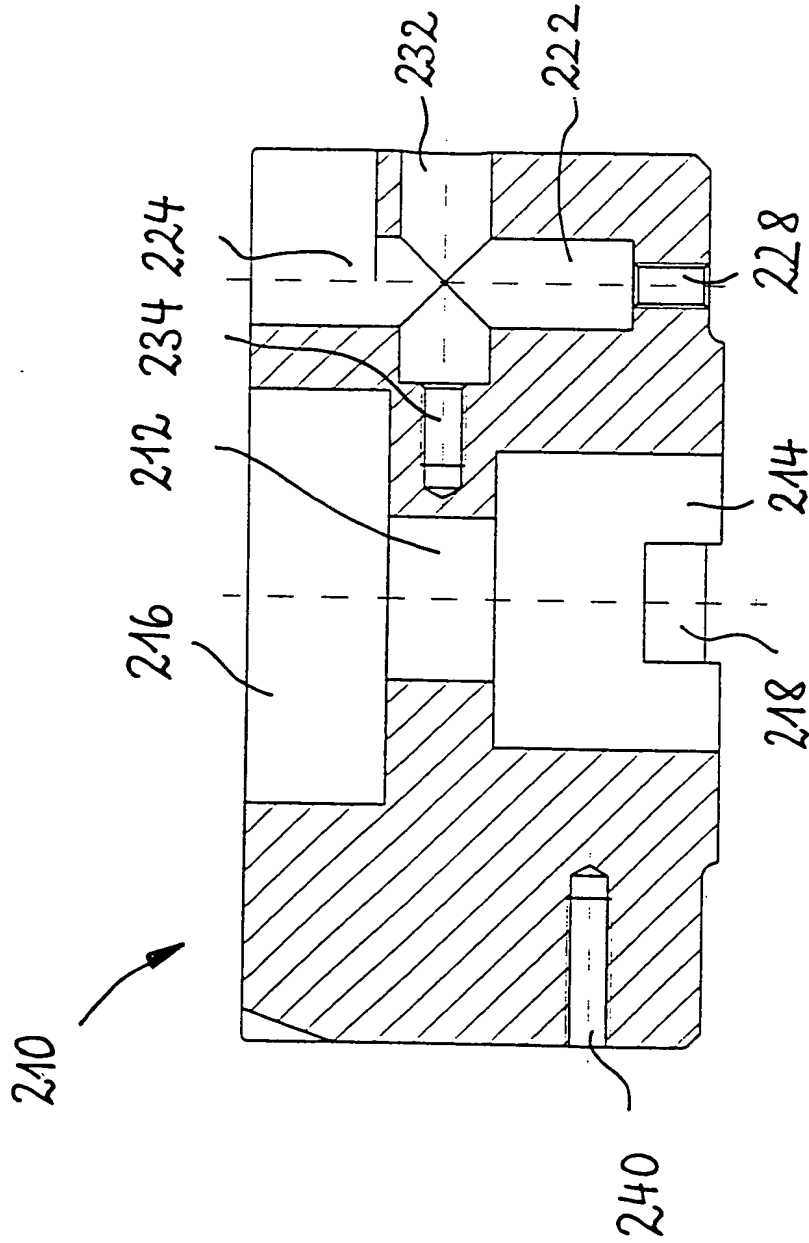


Fig. 16

11 / 23

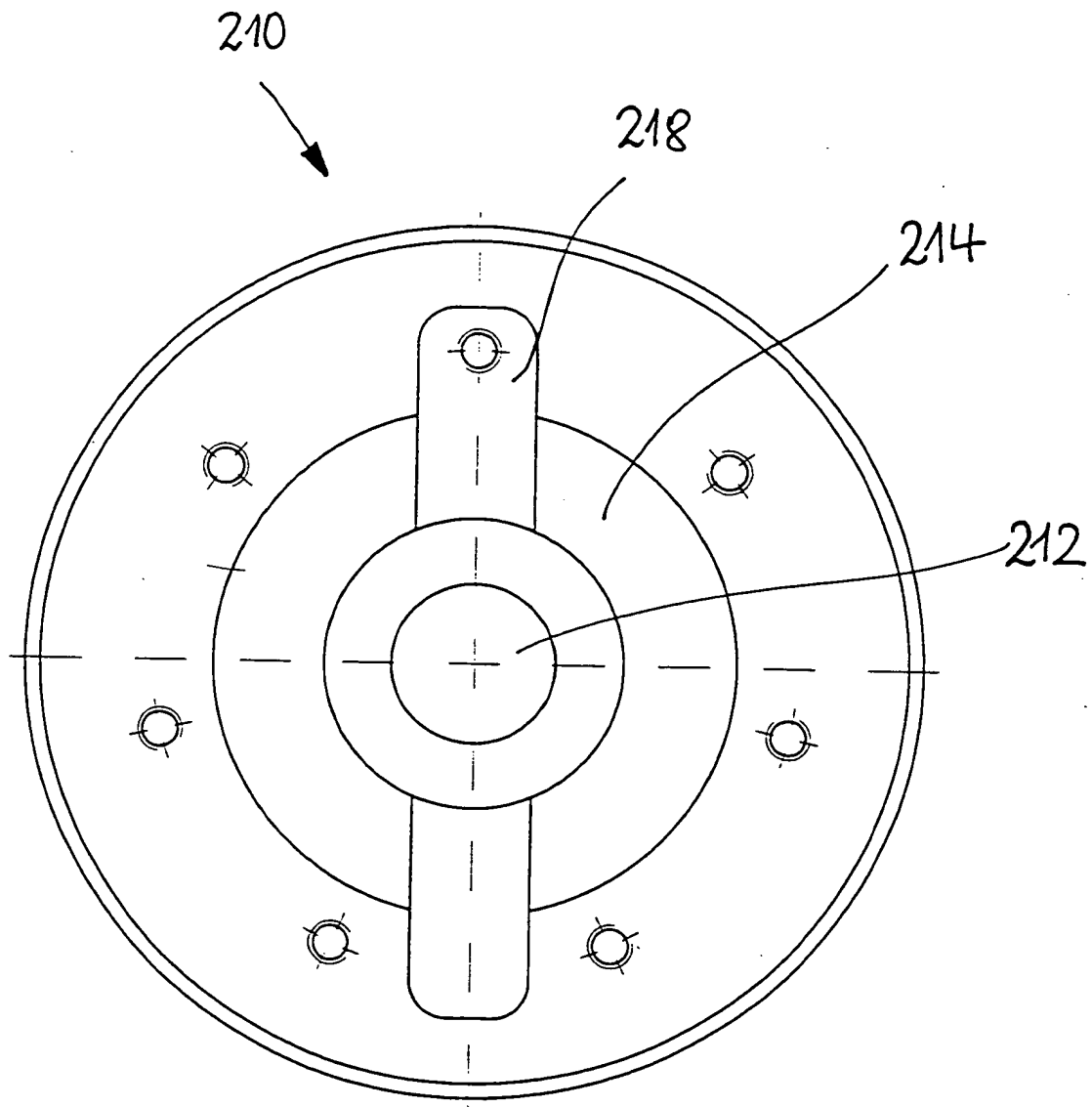


Fig. 17

12/23

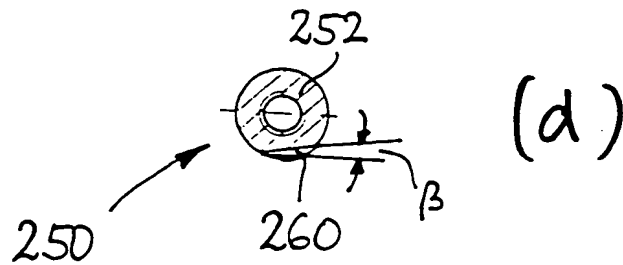
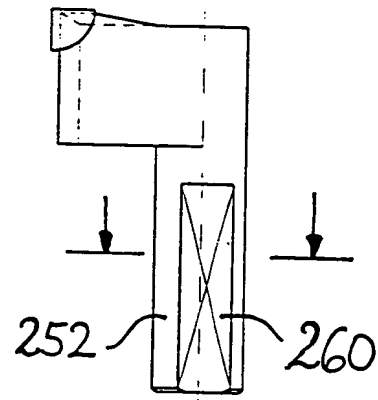
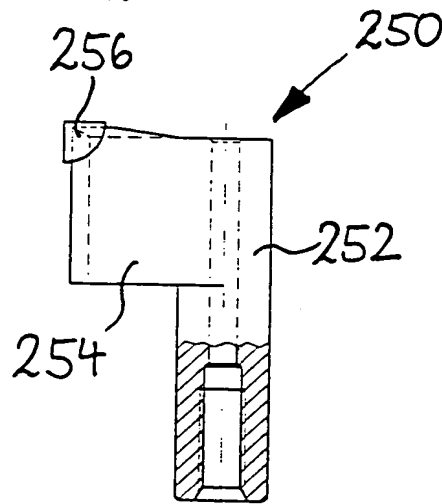
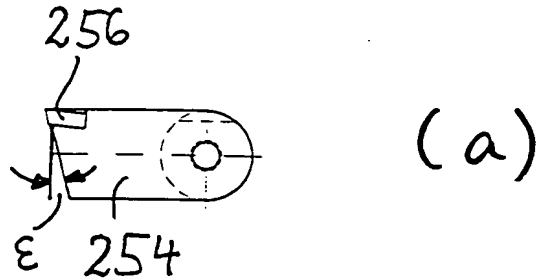


Fig. 18

13/23

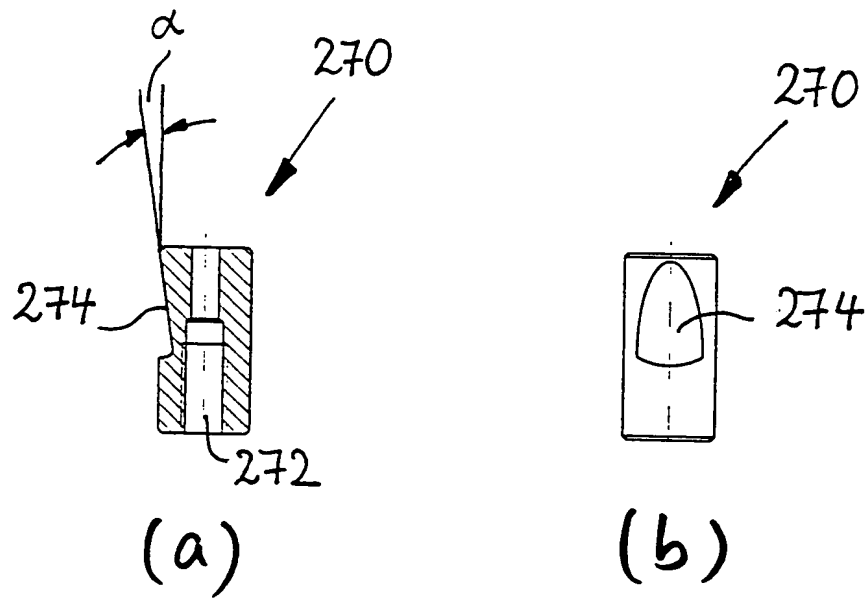


Fig. 19

14/23

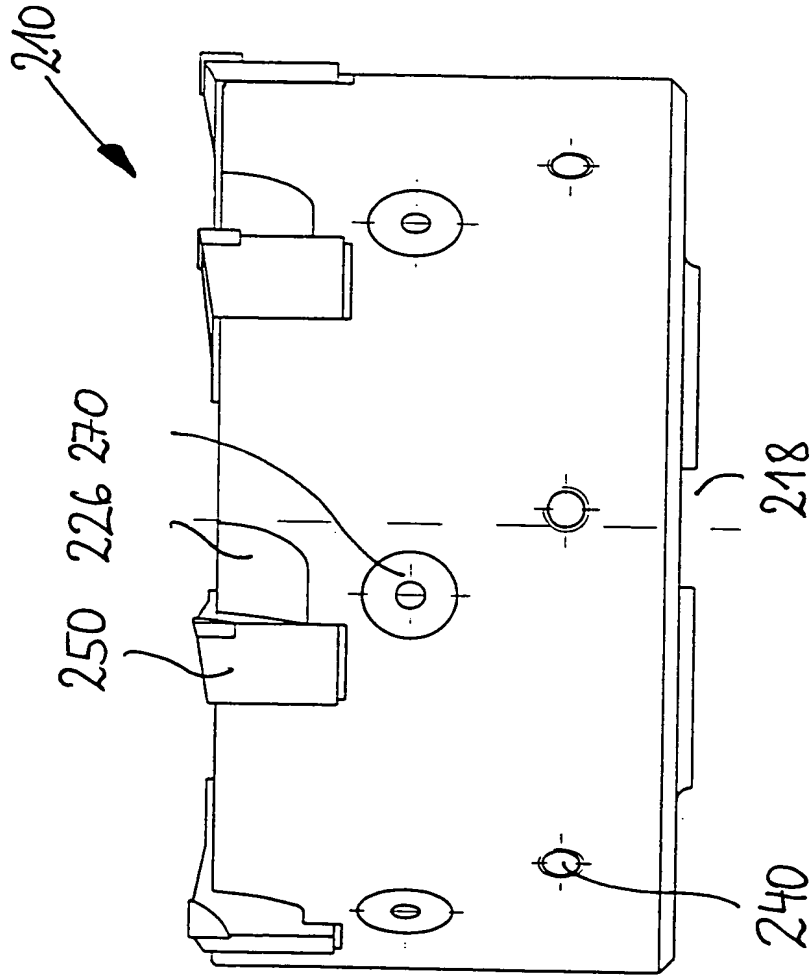


Fig. 20

15/23

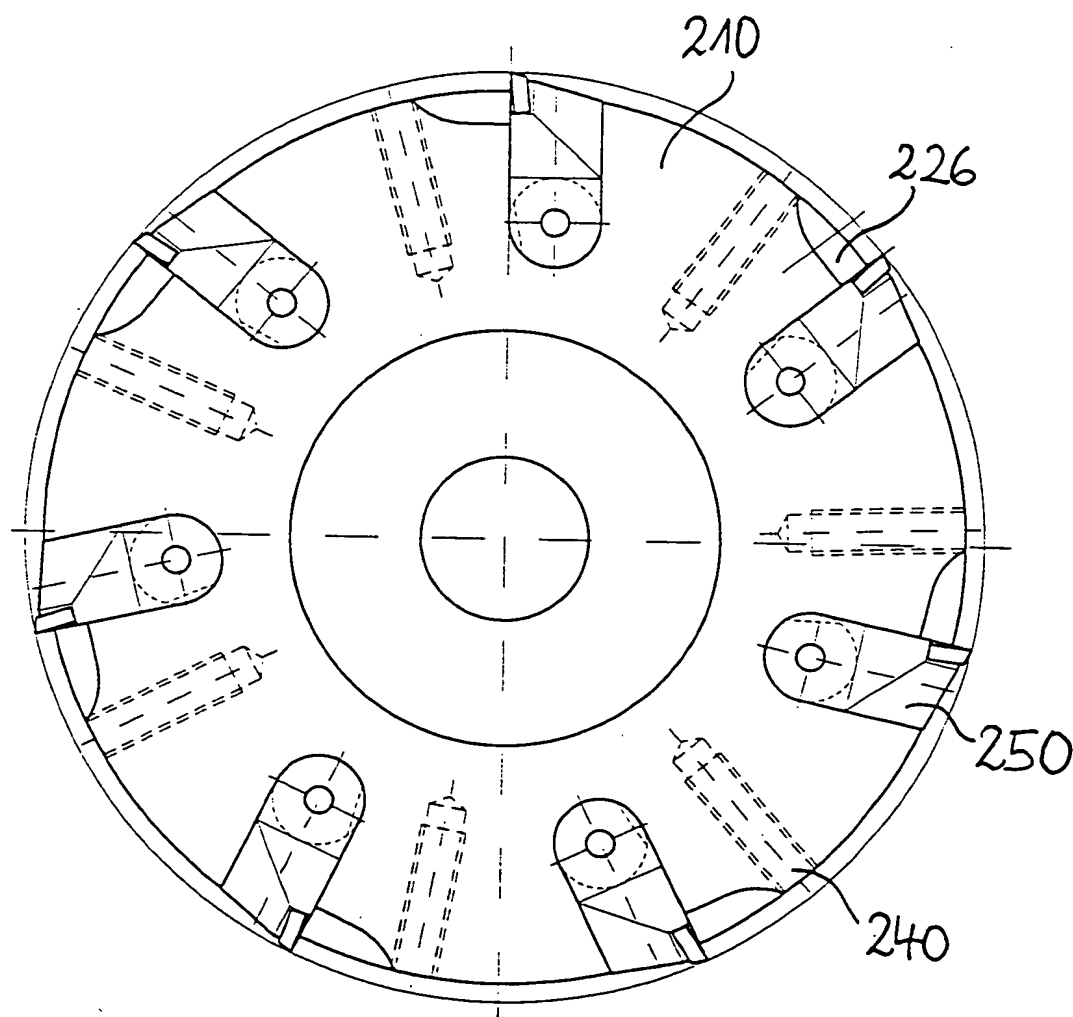


Fig. 21

16/23

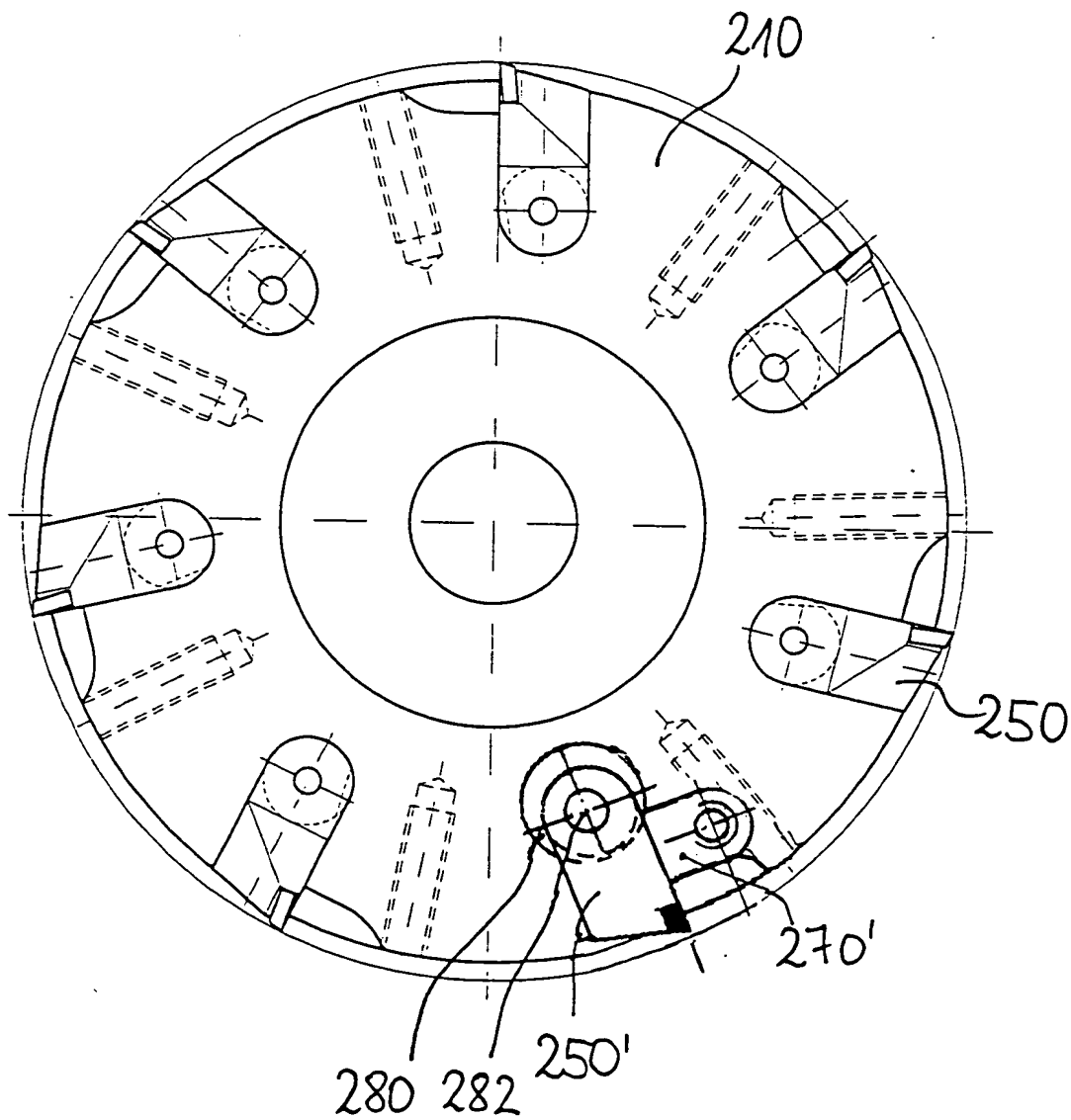


Fig. 22



17 / 23

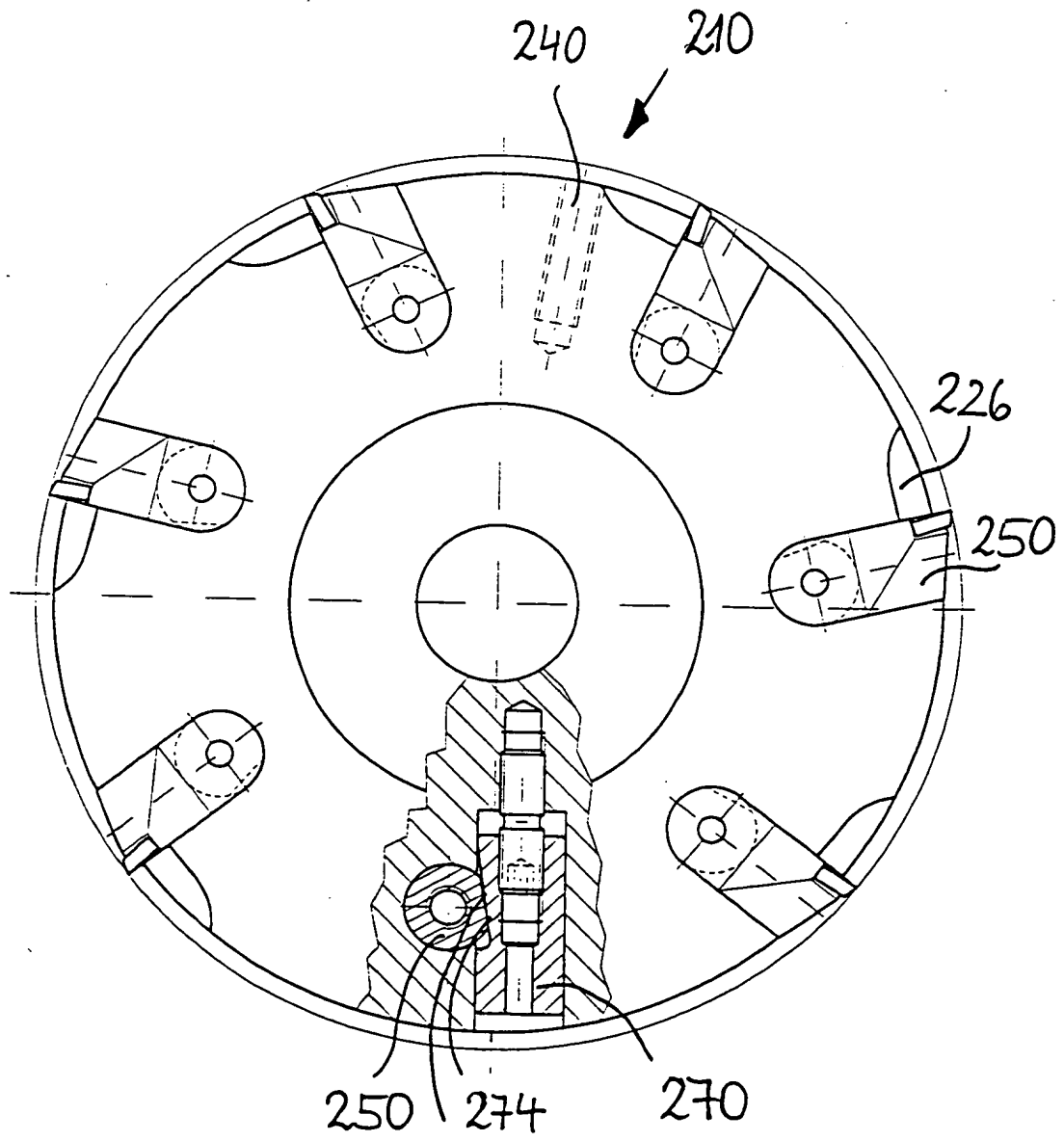


Fig. 23

18/23

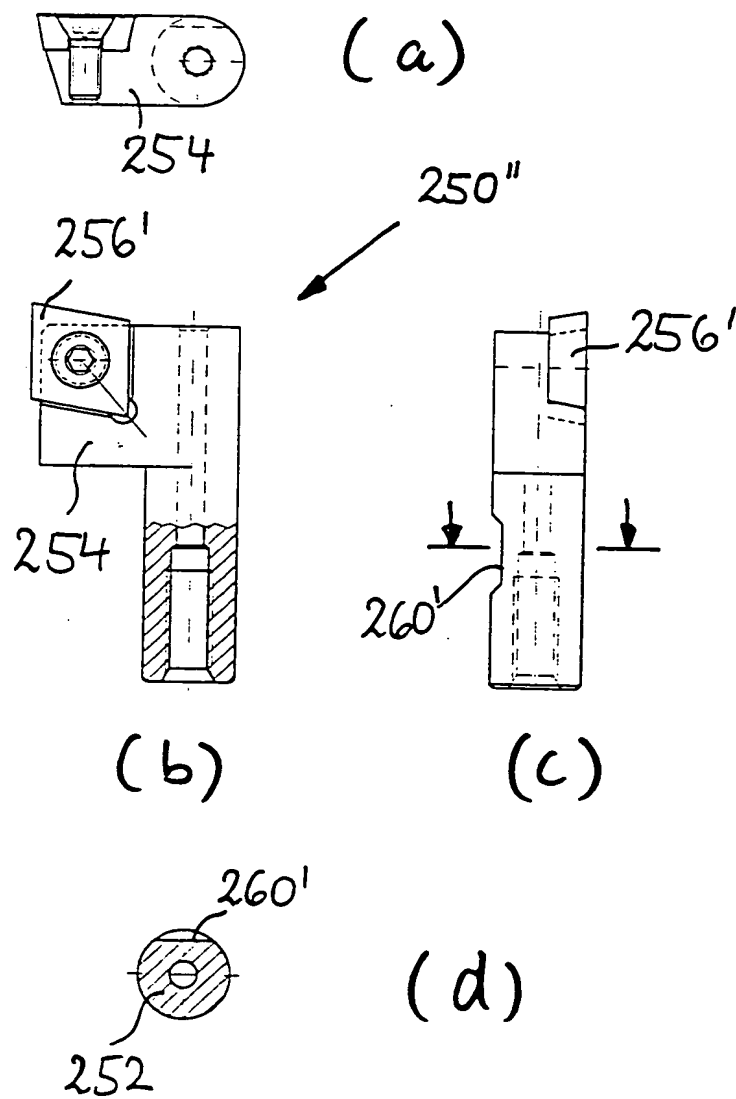


Fig. 24

19/23

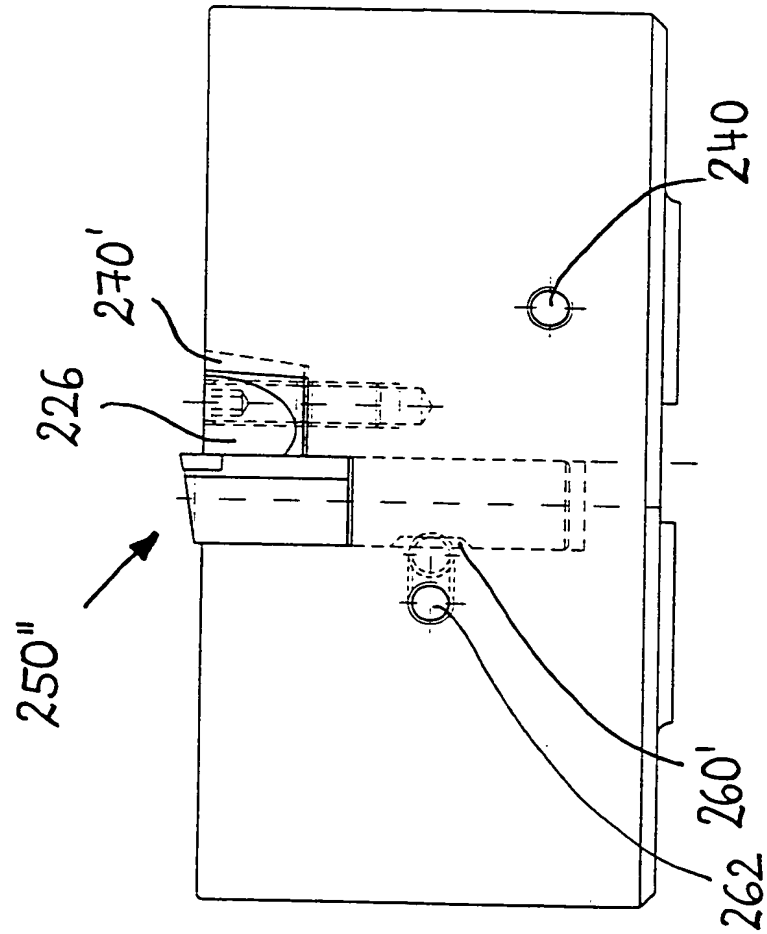


Fig. 25

20/23

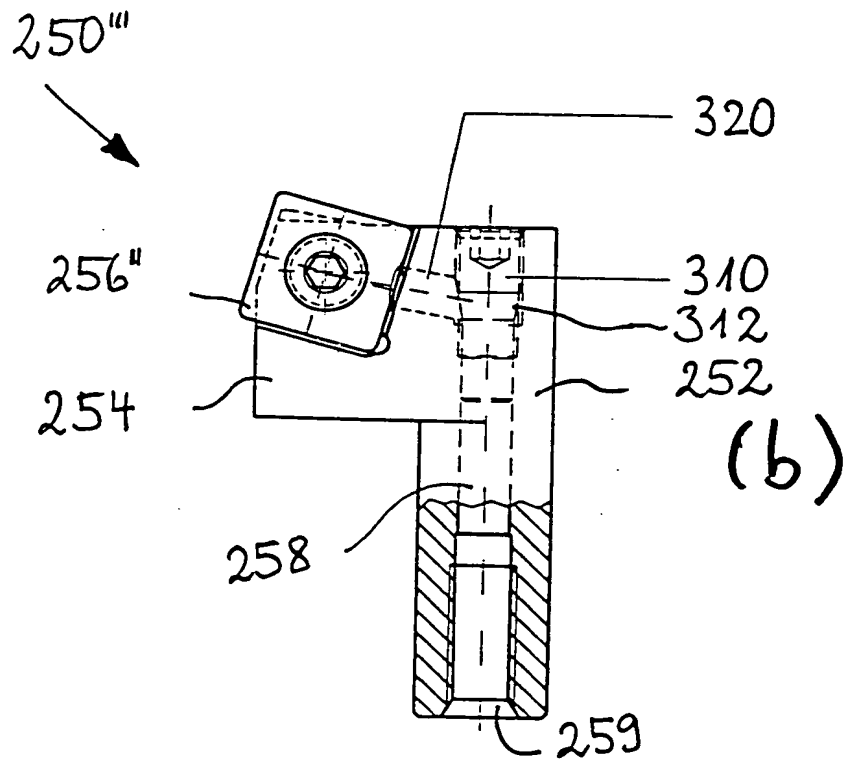
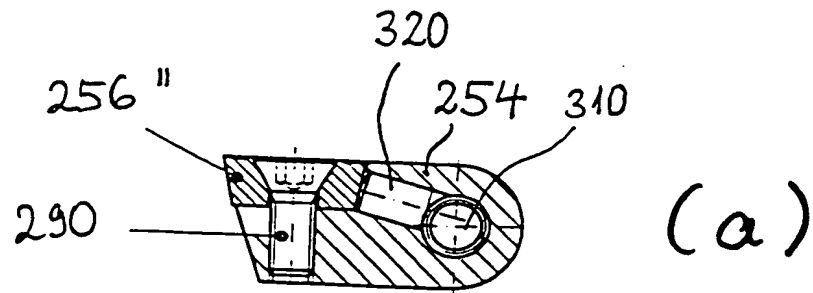


Fig. 26

21/23

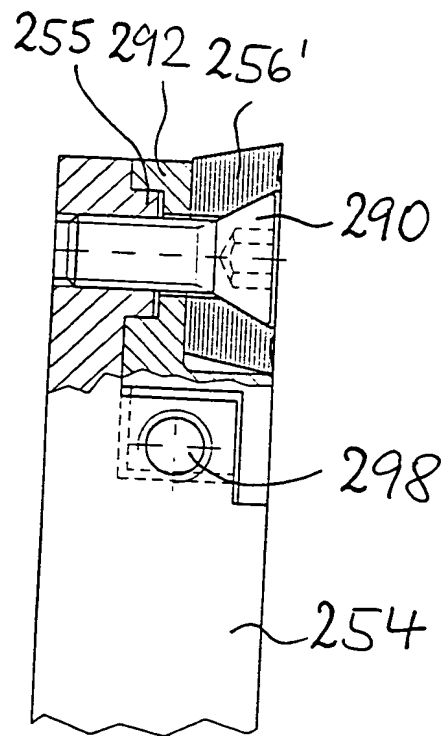


Fig. 27

22/23

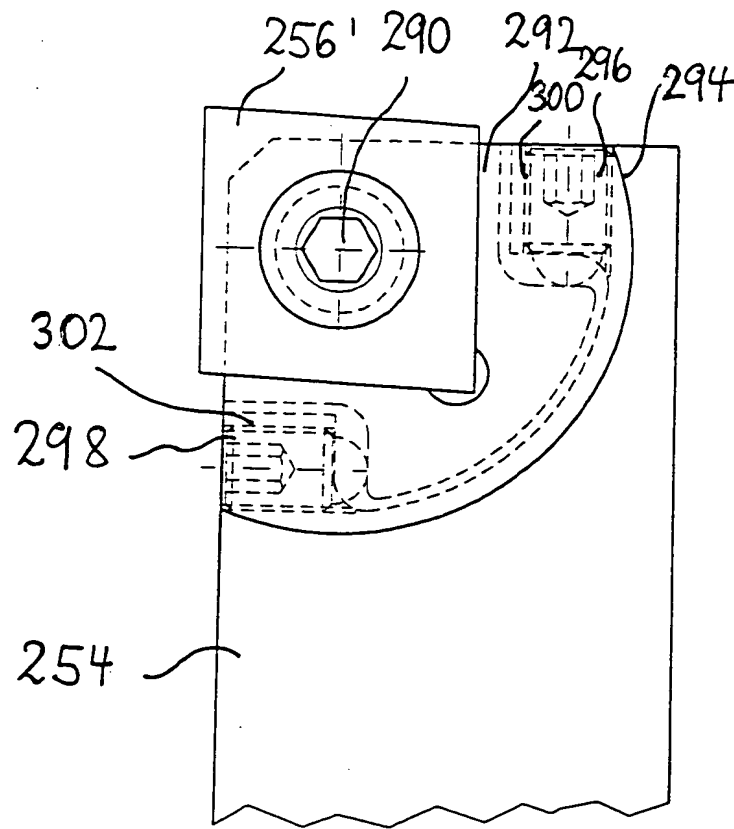


Fig. 28

23/23

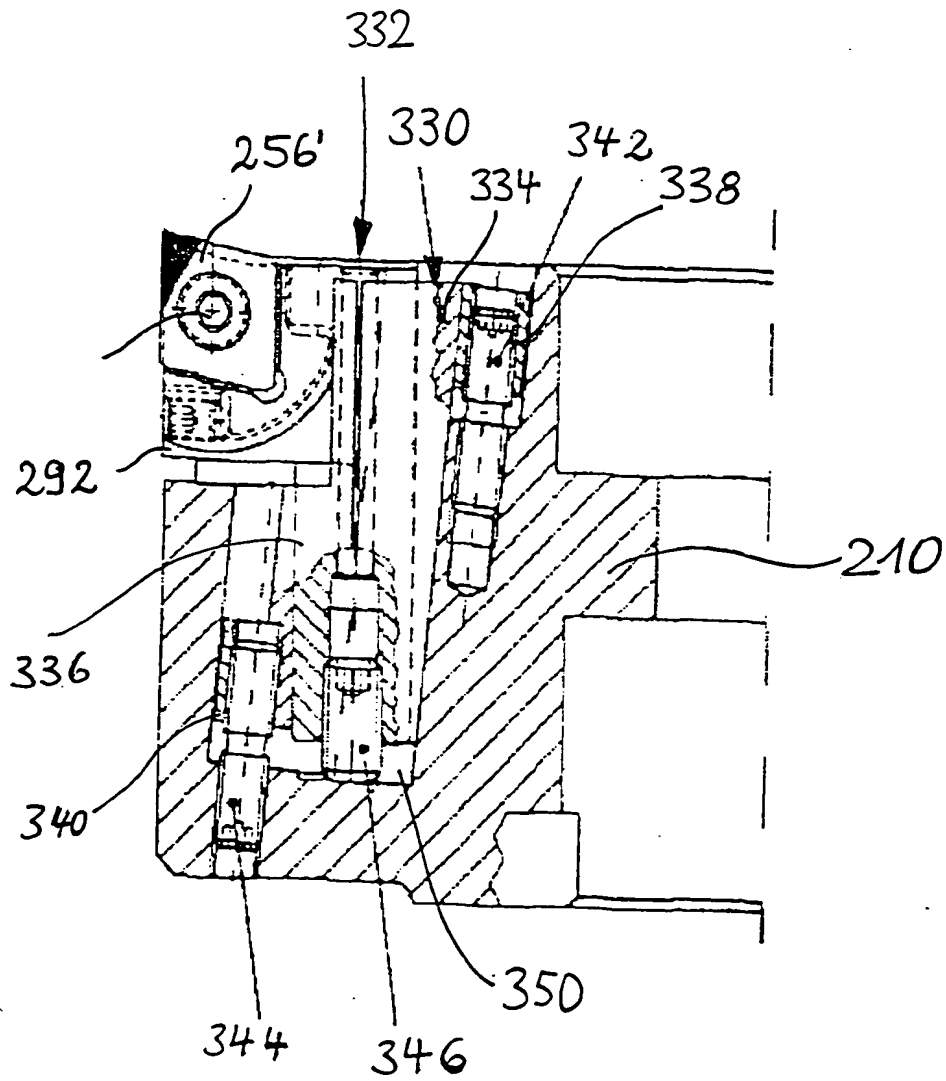


Fig. 29